

Starkniederschlagshöhen und -spenden gemäß KOSTRA-DWD-2010R

Auswertungszeitraum von 1951 - 2010, Januar - Dezember

Rasterfeld: 24056

Zeile: 24

Spalte: 56

Seite: 1/2

| Dauerstufe D | | Wiederkehrzeit T | | | | | | | | | | | | | | | | | |
|--------------|-----|------------------|------------|------|------------|------|------------|------|------------|------|------------|------|------------|------|------------|------|------------|-------|------------|
| | | 1 a | | 2 a | | 3 a | | 5 a | | 10 a | | 20 a | | 30 a | | 50 a | | 100 a | |
| min | Std | mm | l / (s ha) | mm | l / (s ha) | mm | l / (s ha) | mm | l / (s ha) | mm | l / (s ha) | mm | l / (s ha) | mm | l / (s ha) | mm | l / (s ha) | mm | l / (s ha) |
| 5 | | 4,6 | 153,3 | 6,3 | 210,0 | 7,3 | 243,3 | 8,5 | 283,3 | 10,2 | 340,0 | 11,9 | 396,7 | 12,9 | 430,0 | 14,2 | 473,3 | 15,9 | 530,0 |
| 10 | | 7,3 | 121,7 | 9,5 | 158,3 | 10,9 | 181,7 | 12,5 | 208,3 | 14,8 | 246,7 | 17,1 | 285,0 | 18,4 | 306,7 | 20,1 | 335,0 | 22,4 | 373,3 |
| 15 | | 9,0 | 100,0 | 11,7 | 130,0 | 13,3 | 147,8 | 15,3 | 170,0 | 18,0 | 200,0 | 20,6 | 228,9 | 22,2 | 246,7 | 24,2 | 268,9 | 26,9 | 298,9 |
| 20 | | 10,2 | 85,0 | 13,3 | 110,8 | 15,1 | 125,8 | 17,3 | 144,2 | 20,3 | 169,2 | 23,4 | 195,0 | 25,1 | 209,2 | 27,4 | 228,3 | 30,4 | 253,3 |
| 30 | | 11,9 | 66,1 | 15,5 | 86,1 | 17,6 | 97,8 | 20,2 | 112,2 | 23,8 | 132,2 | 27,4 | 152,2 | 29,5 | 163,9 | 32,2 | 178,9 | 35,8 | 198,9 |
| 45 | | 13,3 | 49,3 | 17,5 | 64,8 | 20,0 | 74,1 | 23,2 | 85,9 | 27,4 | 101,5 | 31,7 | 117,4 | 34,2 | 126,7 | 37,4 | 138,5 | 41,6 | 154,1 |
| 60 | | 14,1 | 39,2 | 18,9 | 52,5 | 21,7 | 60,3 | 25,3 | 70,3 | 30,1 | 83,6 | 34,9 | 96,9 | 37,7 | 104,7 | 41,3 | 114,7 | 46,1 | 128,1 |
| 90 | | 15,6 | 28,9 | 20,5 | 38,0 | 23,4 | 43,3 | 27,0 | 50,0 | 32,0 | 59,3 | 36,9 | 68,3 | 39,8 | 73,7 | 43,4 | 80,4 | 48,3 | 89,4 |
| 120 | 2 | 16,7 | 23,2 | 21,7 | 30,1 | 24,7 | 34,3 | 28,4 | 39,4 | 33,4 | 46,4 | 38,4 | 53,3 | 41,3 | 57,4 | 45,0 | 62,5 | 50,0 | 69,4 |
| 180 | 3 | 18,5 | 17,1 | 23,6 | 21,9 | 26,6 | 24,6 | 30,4 | 28,1 | 35,5 | 32,9 | 40,6 | 37,6 | 43,6 | 40,4 | 47,4 | 43,9 | 52,6 | 48,7 |
| 240 | 4 | 19,8 | 13,8 | 25,0 | 17,4 | 28,1 | 19,5 | 31,9 | 22,2 | 37,2 | 25,8 | 42,4 | 29,4 | 45,4 | 31,5 | 49,3 | 34,2 | 54,5 | 37,8 |
| 360 | 6 | 21,9 | 10,1 | 27,2 | 12,6 | 30,4 | 14,1 | 34,3 | 15,9 | 39,6 | 18,3 | 45,0 | 20,8 | 48,1 | 22,3 | 52,0 | 24,1 | 57,4 | 26,6 |
| 540 | 9 | 24,2 | 7,5 | 29,7 | 9,2 | 32,9 | 10,2 | 36,9 | 11,4 | 42,3 | 13,1 | 47,8 | 14,8 | 51,0 | 15,7 | 55,0 | 17,0 | 60,5 | 18,7 |
| 720 | 12 | 26,0 | 6,0 | 31,5 | 7,3 | 34,8 | 8,1 | 38,9 | 9,0 | 44,4 | 10,3 | 50,0 | 11,6 | 53,2 | 12,3 | 57,3 | 13,3 | 62,9 | 14,6 |
| 1080 | 18 | 28,7 | 4,4 | 34,4 | 5,3 | 37,7 | 5,8 | 41,9 | 6,5 | 47,6 | 7,3 | 53,3 | 8,2 | 56,6 | 8,7 | 60,8 | 9,4 | 66,5 | 10,3 |
| 1440 | 24 | 30,8 | 3,6 | 36,6 | 4,2 | 40,0 | 4,6 | 44,2 | 5,1 | 50,0 | 5,8 | 55,8 | 6,5 | 59,2 | 6,9 | 63,4 | 7,3 | 69,2 | 8,0 |
| 2880 | 48 | 34,4 | 2,0 | 40,4 | 2,3 | 43,9 | 2,5 | 48,3 | 2,8 | 54,2 | 3,1 | 60,2 | 3,5 | 63,7 | 3,7 | 68,1 | 3,9 | 74,1 | 4,3 |
| 4320 | 72 | 36,7 | 1,4 | 42,8 | 1,7 | 46,3 | 1,8 | 50,8 | 2,0 | 56,9 | 2,2 | 63,0 | 2,4 | 66,5 | 2,6 | 71,0 | 2,7 | 77,1 | 3,0 |

Angaben in mm: Bemessungsniederschlagswerte h(n)

Angaben in l / (s ha): Regenspende R(n) mit $R(n) = h(n) \times 1,666667 / D[\text{min}]$

Toleranzbereiche:

+/- 10 % für $1 \text{ a} \leq T \leq 5 \text{ a}$

+/- 15 % für $5 \text{ a} < T \leq 50 \text{ a}$

+/- 20 % für $50 \text{ a} < T \leq 100 \text{ a}$

Datenbasis: KOSTRA-DWD-2010R des Deutschen Wetterdienstes. Die Regenspende wurde auf Basis des Bemessungsniederschlags zur jeweiligen Andauer berechnet.

Für die Richtigkeit und Aktualität der Angaben wird keine Gewähr übernommen. Erstellt 07/2022.

Starkniederschlagshöhen und -spenden gemäß KOSTRA-DWD-2010R

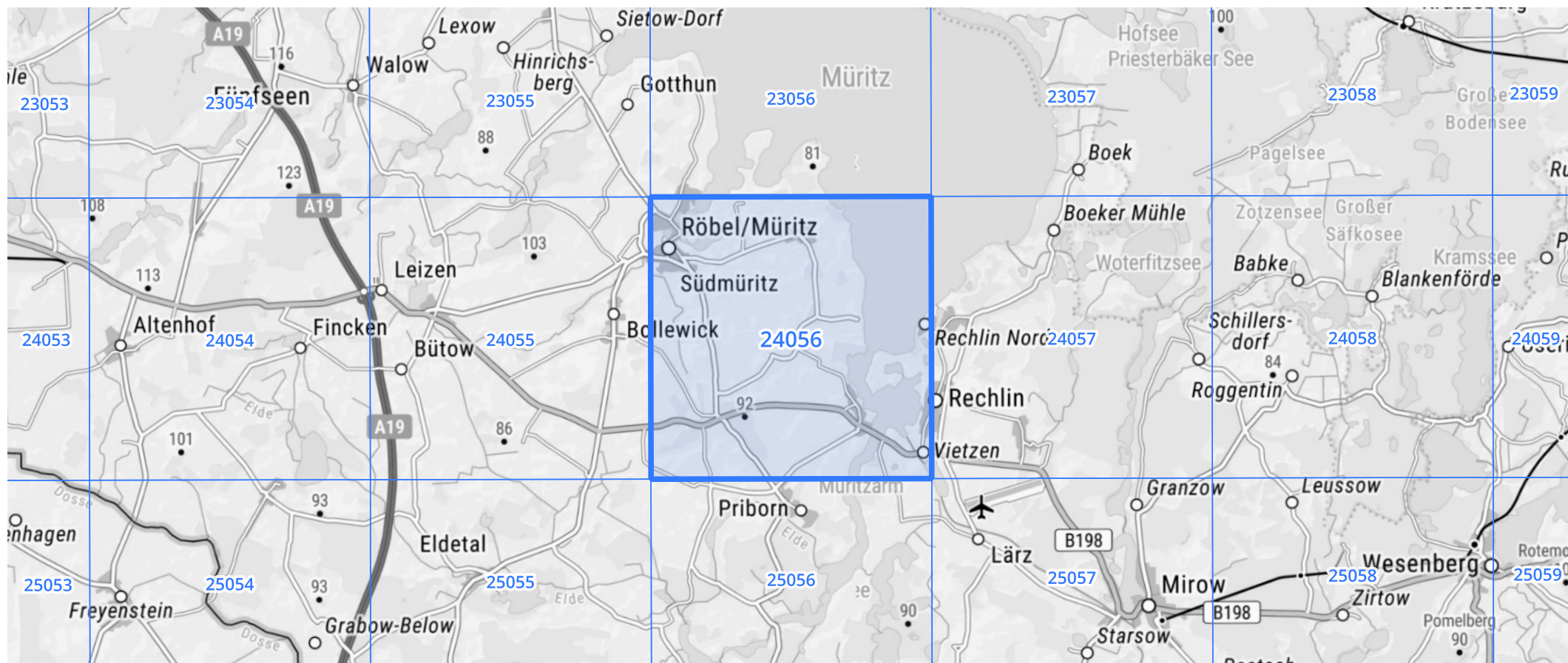
Auswertungszeitraum von 1951 - 2010, Januar - Dezember

Rasterfeld: 24056

Zeile: 24

Spalte: 56

Seite: 2/2



Quelle Rasterdaten: KOSTRA-DWD-2010R des Deutschen Wetterdienstes.

Kartendarstellung: © Bundesamt für Kartographie und Geodäsie (2022), Datenquellen: https://sgx.geodatenzentrum.de/web_public/gdz/datenquellen/Datenquellen_TopPlusOpen.html

Für die Richtigkeit und Aktualität der Angaben wird keine Gewähr übernommen. Erstellt 07/2022.